





Emeline Vignaud

G en charge

Patiente de 18 ans

Antécédent : Amygdalectomie dans l'enfance

Habitus: BTS production agricole

Tableau de lombalgies inflammatoire depuis août 2020.

Consultation chez le médecin généraliste :

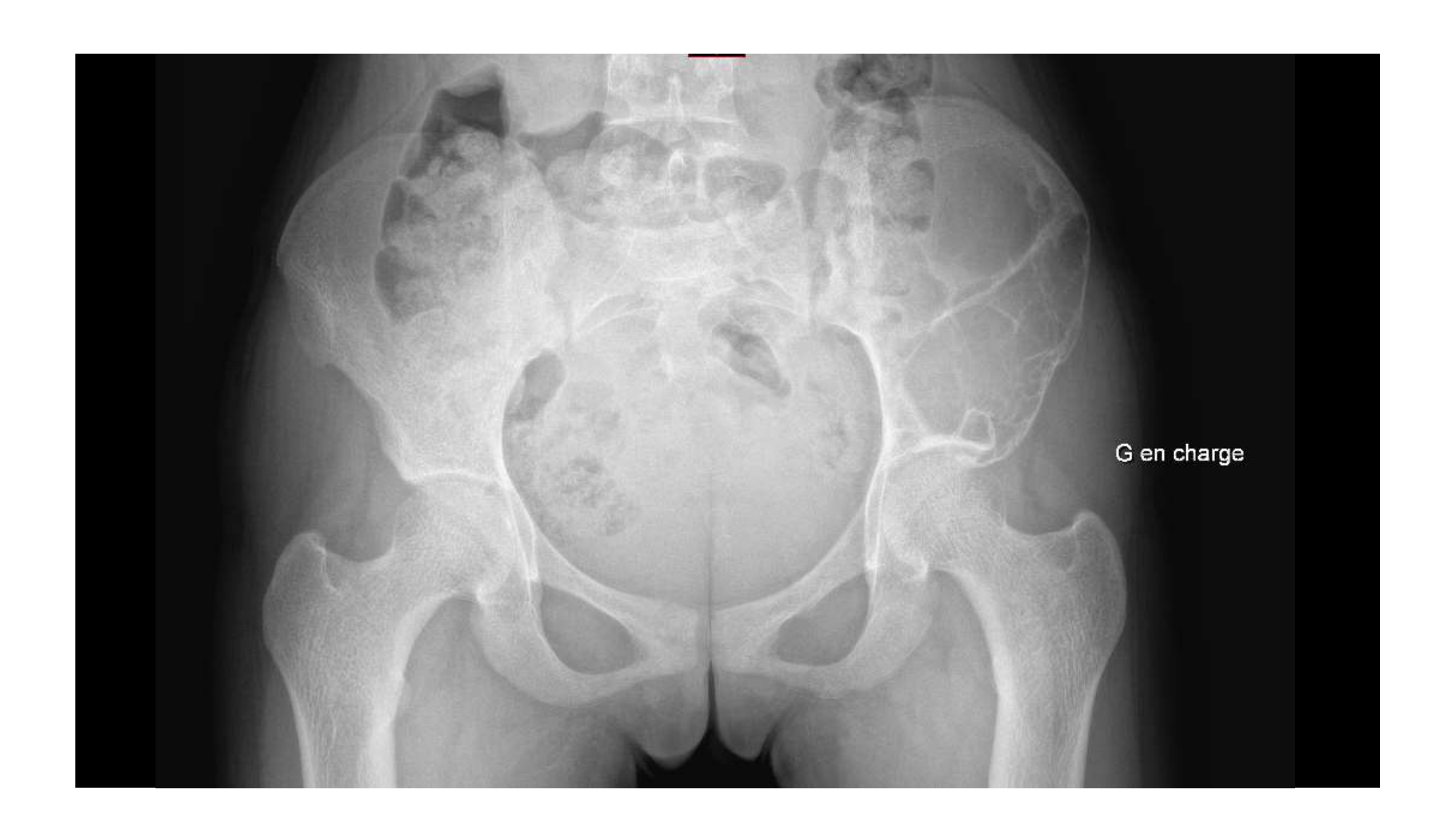
Poids 37 kg, taille 157 cm, IMC 15,0 Gibbosité gauche.

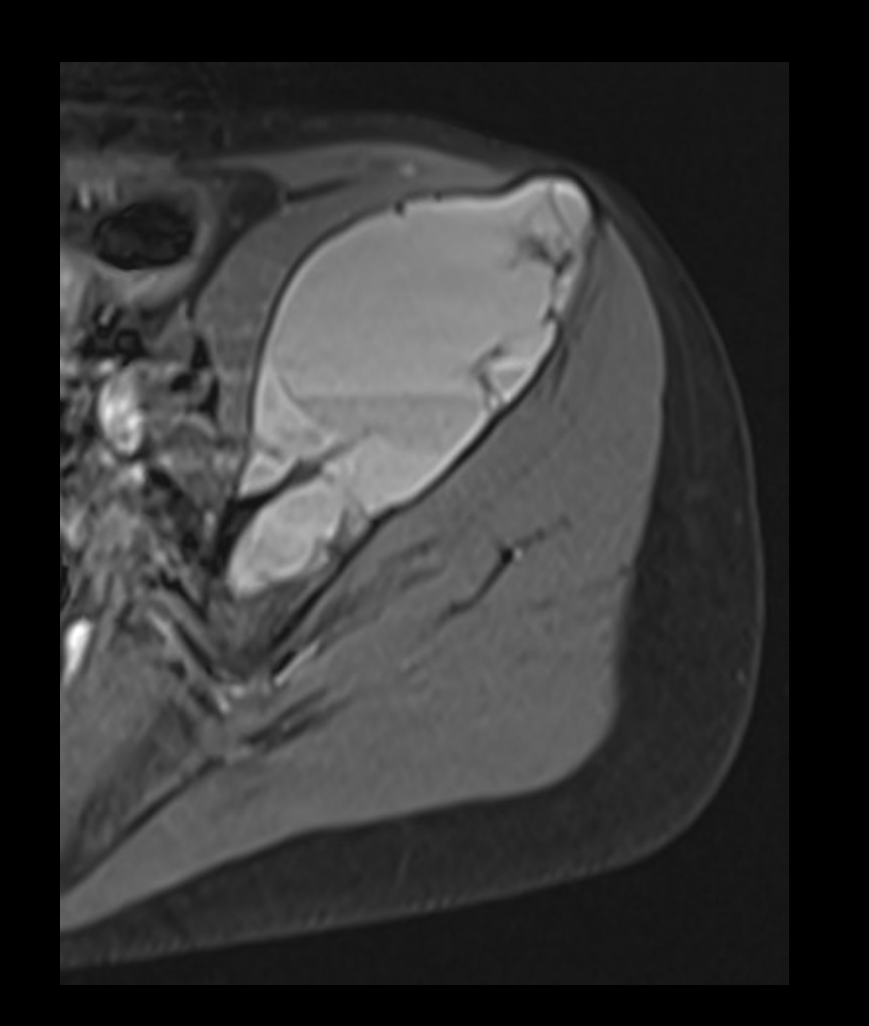
Pas de syndrome rachidien. Pas de radiculalgie. Pas de douleur de hanche.

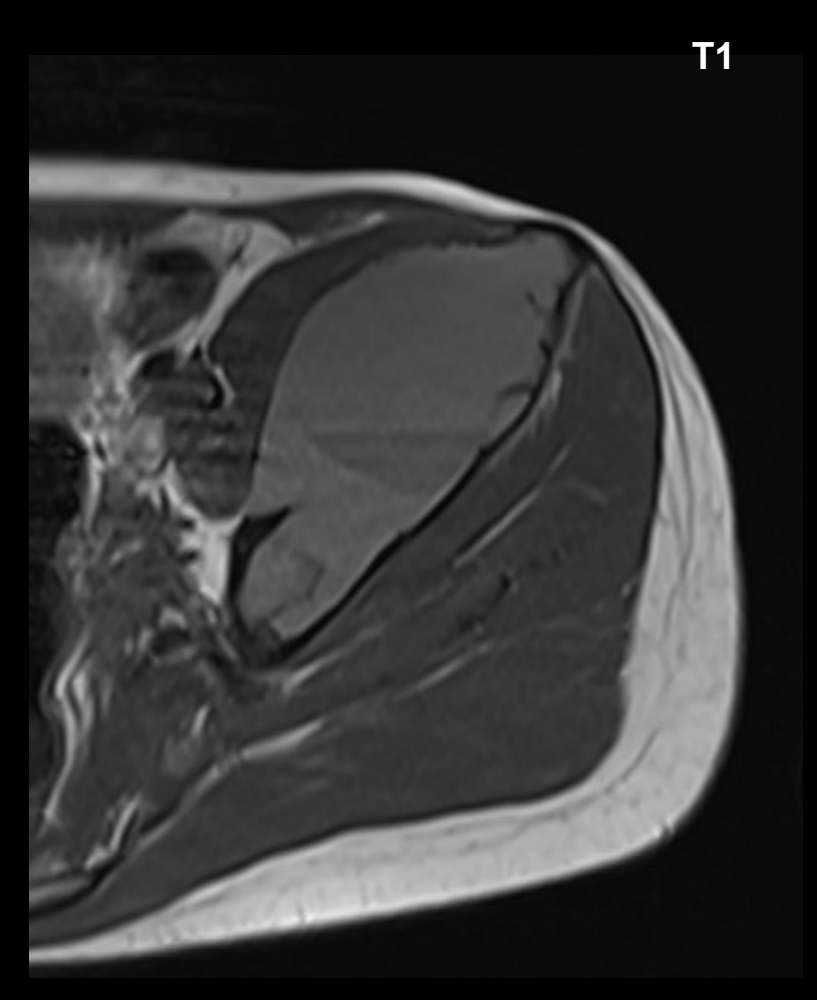
Pas de syndrome inflammatoire biologique.

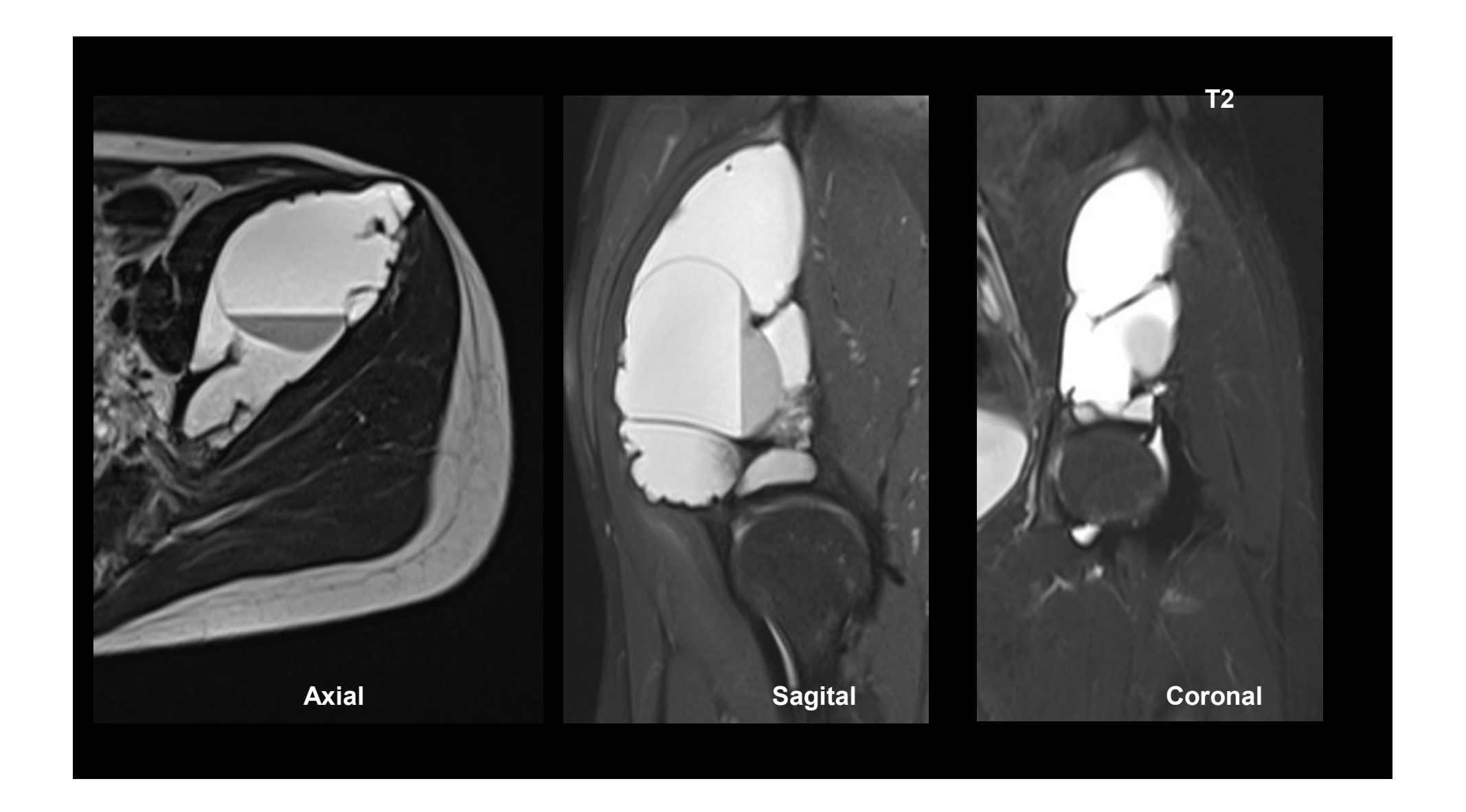
Bilan complété par un EOS.

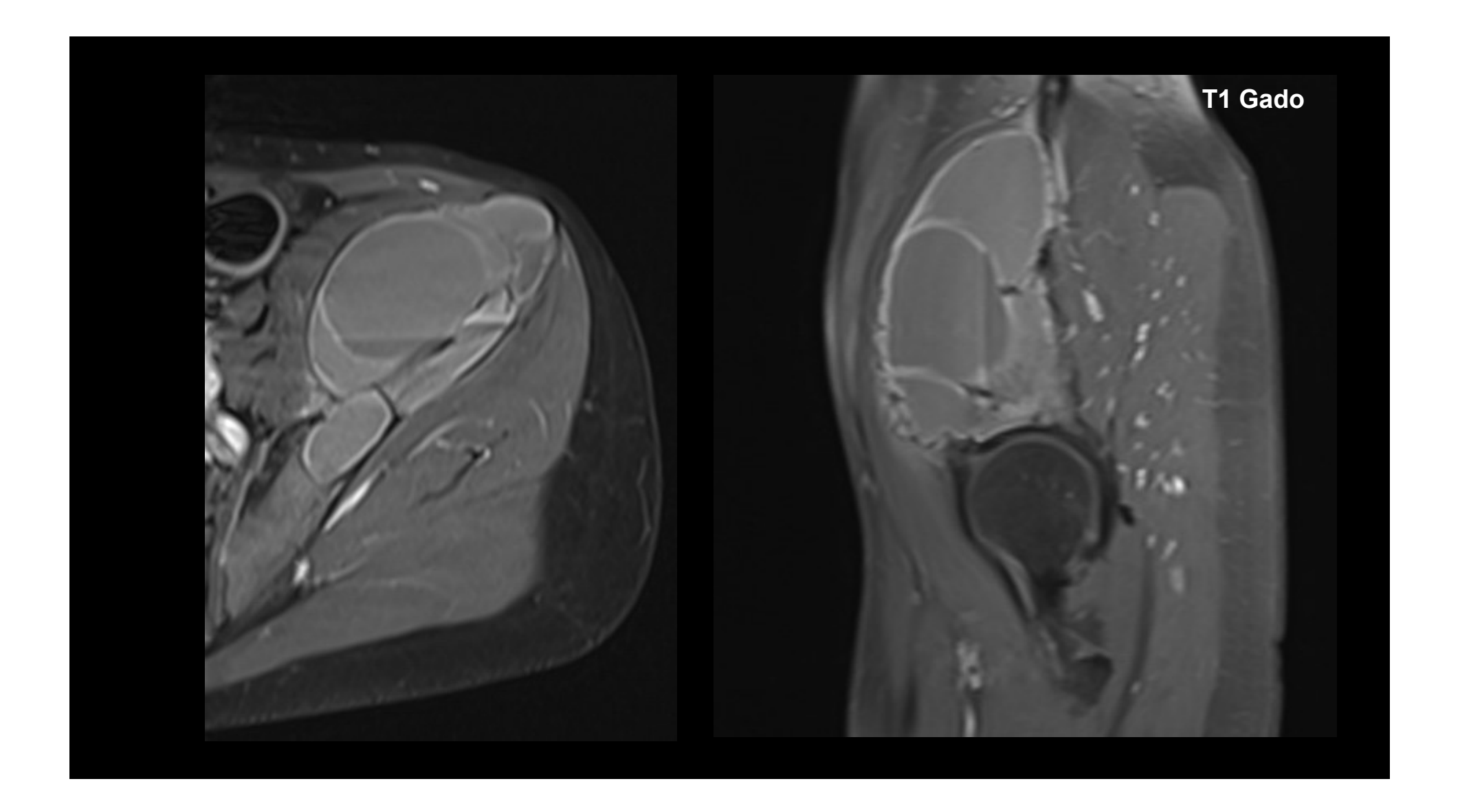












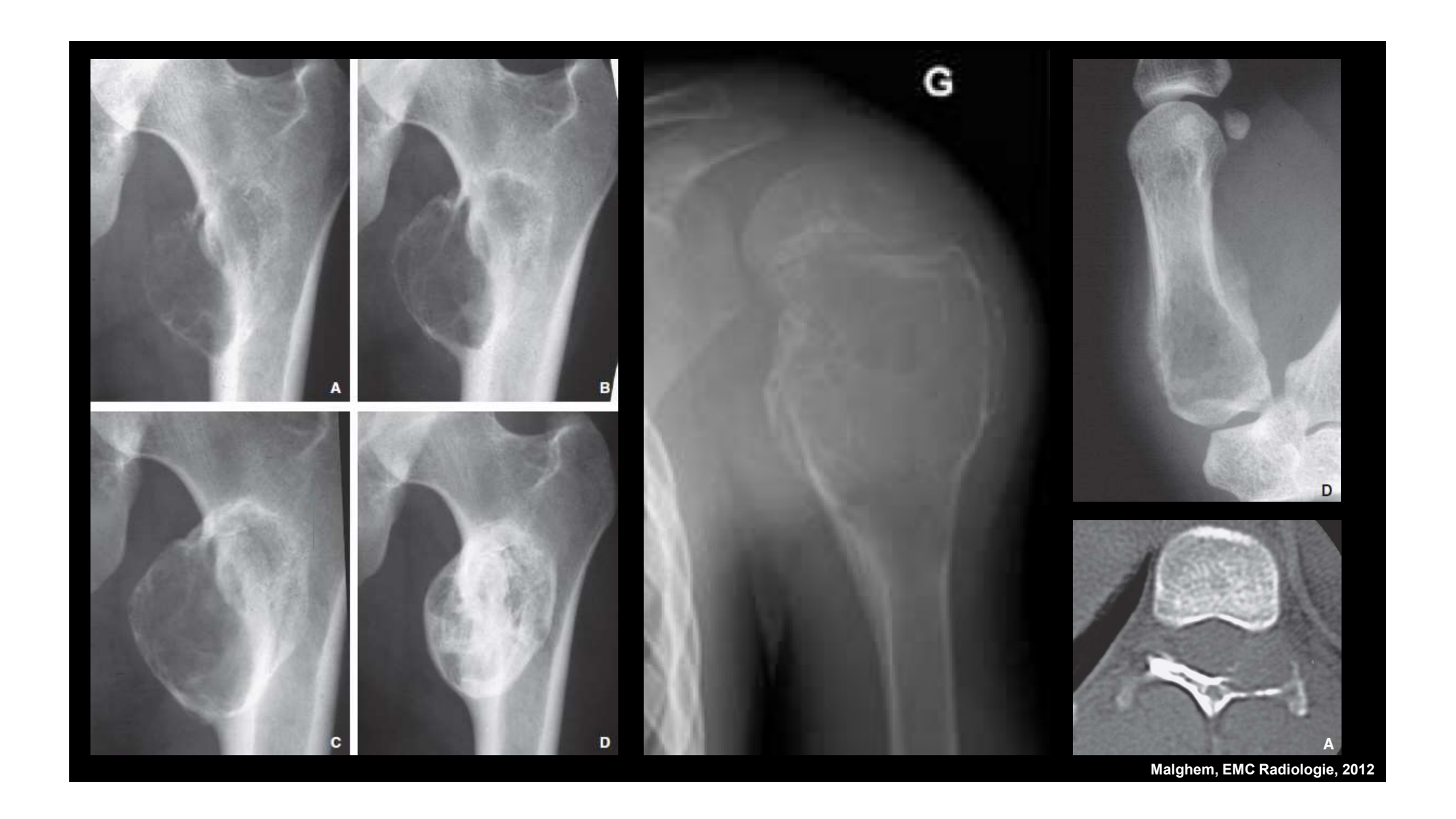
Kyste osseux anévrismal

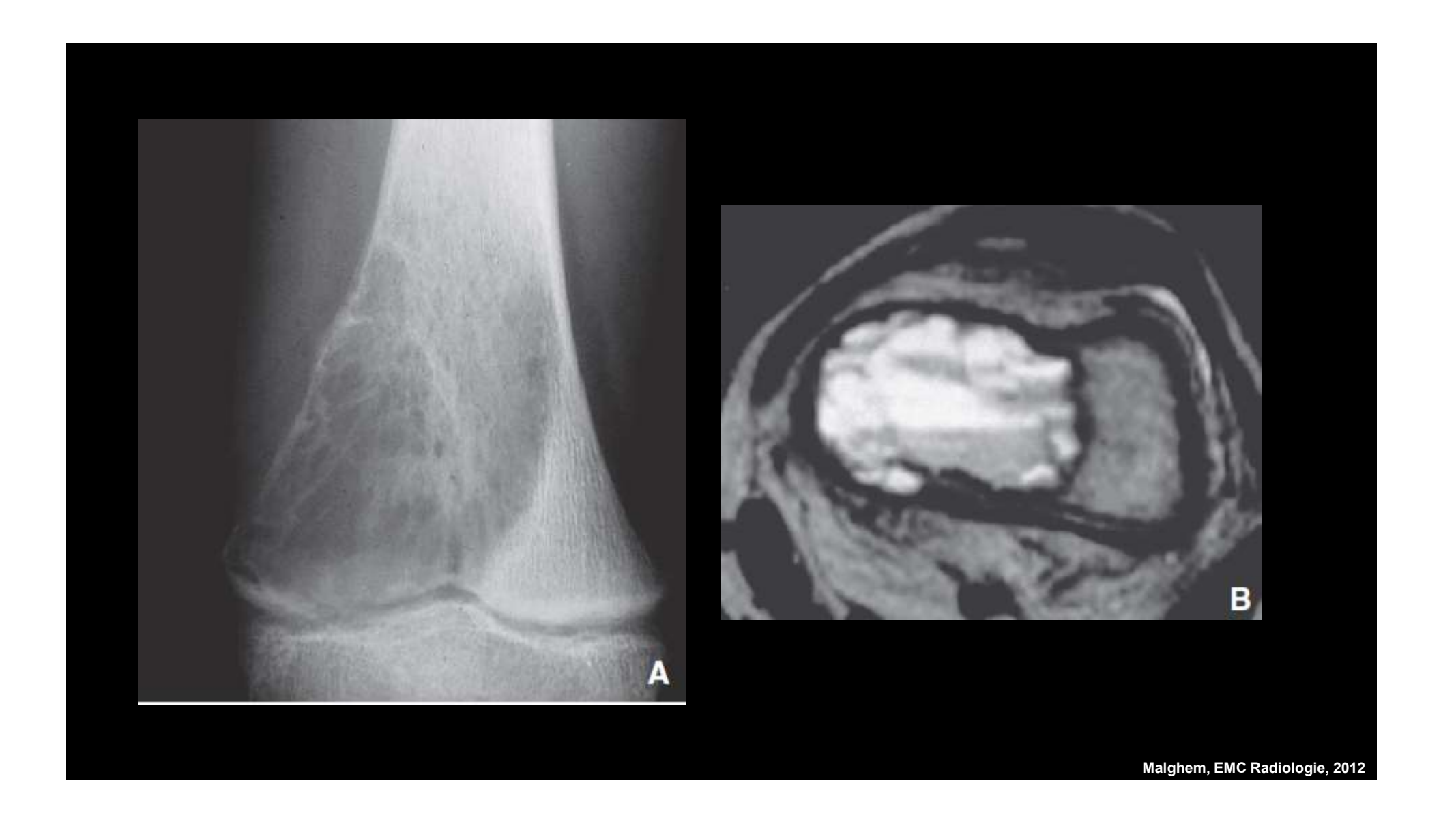
Tumeur osseuse bénigne, ostéolytique, soufflante, constitué de multiples cavités vasculaires anastomosées remplies de sang 10% des tumeurs osseuses bénignes

Le plus souvent métaphysaire ou métaphyso-diaphysaire à centre métaphysaire Os longs

Radiographie : Limites nettes, corticale soufflée, contours lobulés, cloisons osseuses IRM : Niveaux liquide-liquide

→ Biopsie systématique





Histoire de la maladie

Lombalgies d'horaire inflammatoire

Découverte d'une lésion lytique de l'aile iliaque gauche

Avril 2021

Août 2020

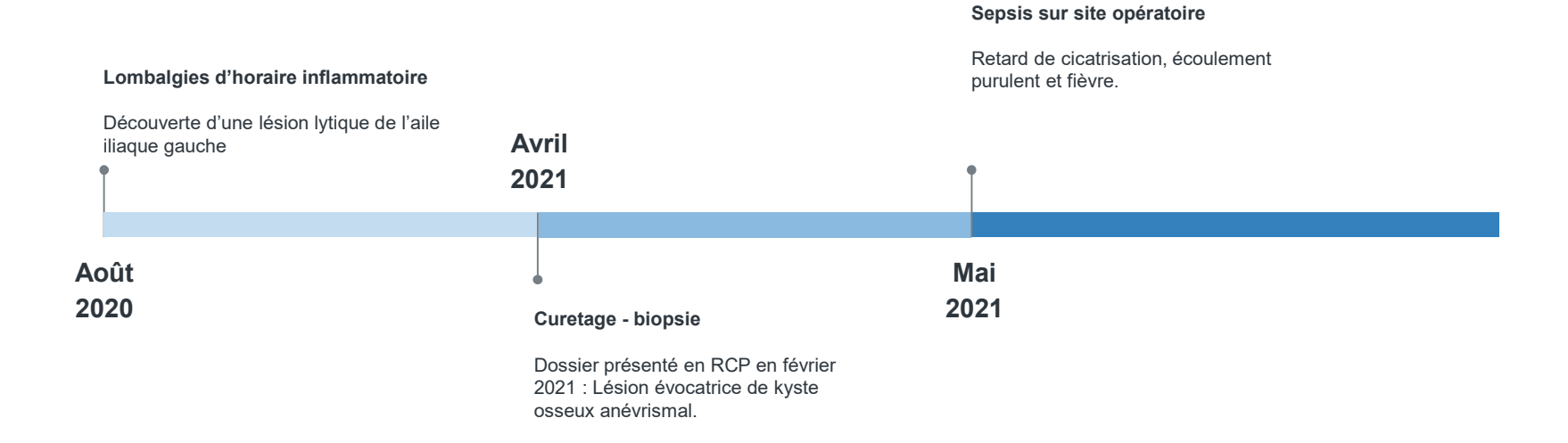
Curetage - biopsie

Dossier présenté en RCP en février 2021 : Lésion évocatrice de kyste osseux anévrismal.

Histologie

Kyste osseux essentiel siège de remaniements anévrismatiques. Pas d'argument en faveur d'un ostéosarcome télangiectasique.

Histoire de la maladie



Hospitalisation en orthopédie

Sur le plan du sepsis :

Prise en charge chirurgicale : reprise de cicatrice et évacuation d'un hématome surinfecté de l'aile iliaque gauche

Prélévement per-opératoires positifs à S. aureus et K oxytoca.

Antibiothérapie post-opératoire par Tazocilline-Linézolide relayée par Clindamycine-Levofloxacine pour une durée de 6 semaines.

Hospitalisation en orthopédie

Découverte d'une hypercalcémie à 4,8 mmol/L

Hospitalisation en orthopédie

Découverte d'une hypercalcémie à 4,8 mmol/L

Tableau d'hyperparathyröïdie primaire sévère (P 0,46 mmol/L, PTH 546 pg/mL, vitamine D 13 ng/mL)

Prise en charge initiale en réanimation : Hyperhydratation + Biphosphonate (Aredia 90 mg). Supplémentation d'une hypokaliémie, hypomagnésémie. Puis introduction de Mimpara.

Echographie cervicale : Volumineuse lésion tissulaire hétérogène de la parathyroïde supérieure droite.

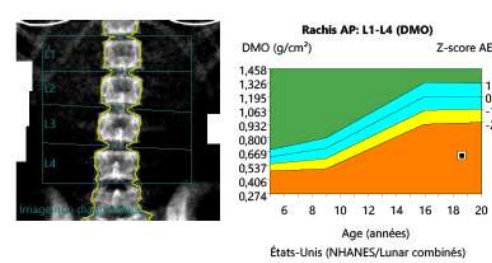


Pas d'antécédents familiaux d'endocrinopathies.

Bilan endocrinien:

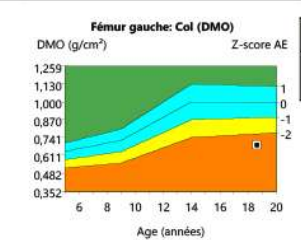
- Calcitonine dans les normes.
- Pas d'anomalie sur le bilan antéhypophysaire.
- TSH normale
- Dérivés méthoxylés normaux.
- Bilan génétique (mutation NEM1, NEM2) : en cours

Ostéodensitométrie



Région	DMO (g/cm²)	(%)	AJ T-score	AE (%)	AE Z-score
L1	0,568	10-8	(-)	50	-4,5
L2	0,615			51	-4,7
L3	0,687	(-)	9-00	58	-4,1
L4	0,669			57	-4,1
L1-L4	0,638			54	-4.3





Région	DMO (g/cm²)	(%)	AJ T-score	AE (%)	AE Z-score	
Col Gauche	0,688			69	-2,4	
Troch. Gauche	0,521		323	66	-2,2	
Total Gauche	0,681		-	67	-2,6	

	Fémur droit: Col (DMO)				-		DMO			
	DMO (g/cm²)				Z-score AE	Région	(g/cm²)			
	1,259	0.000							Col Droit	0,759
									Troch, Droit	0,587
AND DESCRIPTION OF THE PERSON	1,130							100		
	1,000							0		
	0,870					_		-1		
nage non disalem (gr	0,741							-2		
History Committee of the Committee of th	0,611	_								
	0,482	-								
	0,352							20		
	6	8	10	12	14	16	18	20		
			Ac	ge (an	nėes)					
	États	-Unis	(NHA	NES/	Lunar	comb	oinés)			

États-Unis (NHANES/Lunar combinés)

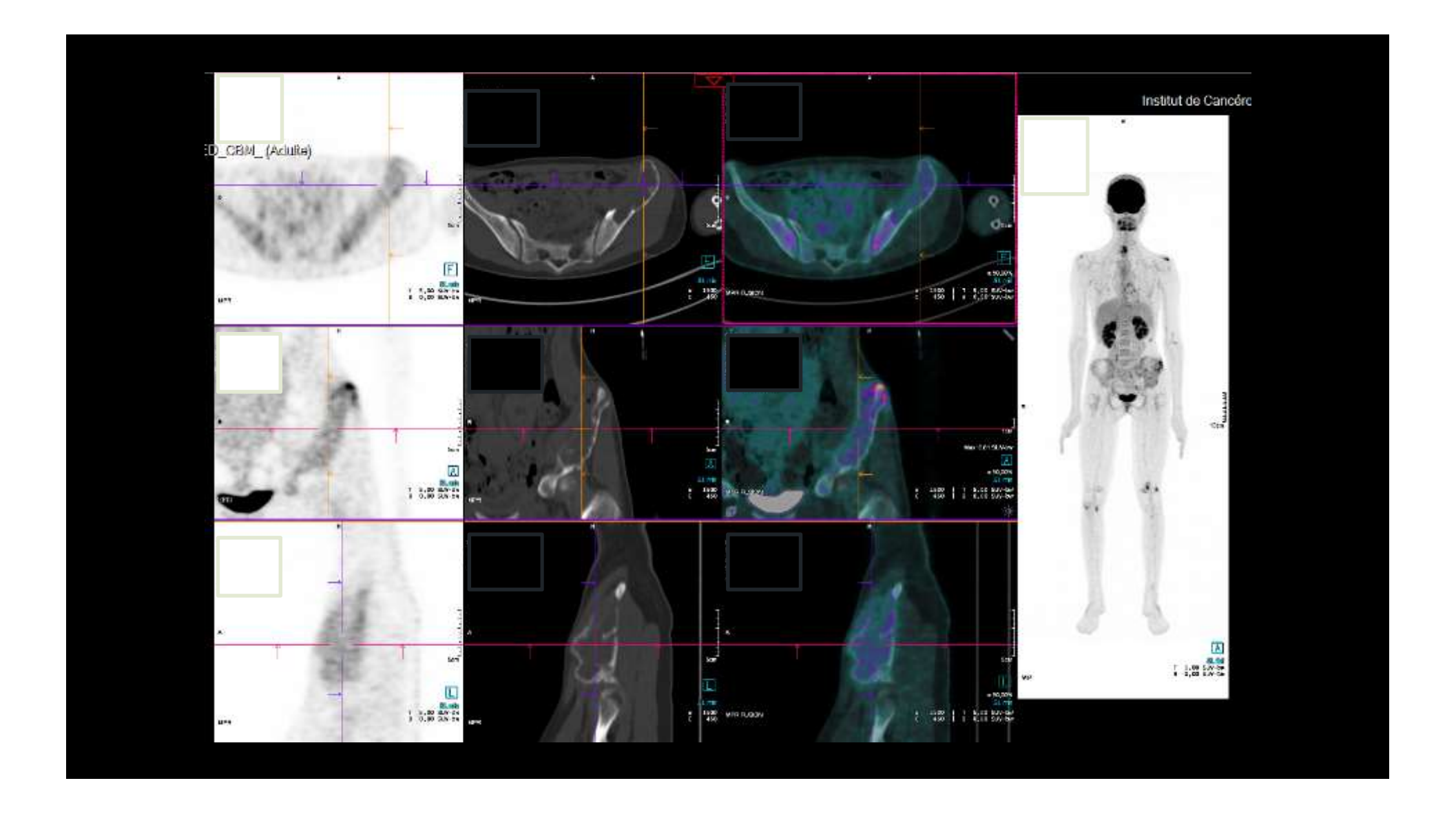
TEP 18F-Choline (31/05/2021):

Lésion paratrachéale droite hyperfixiante

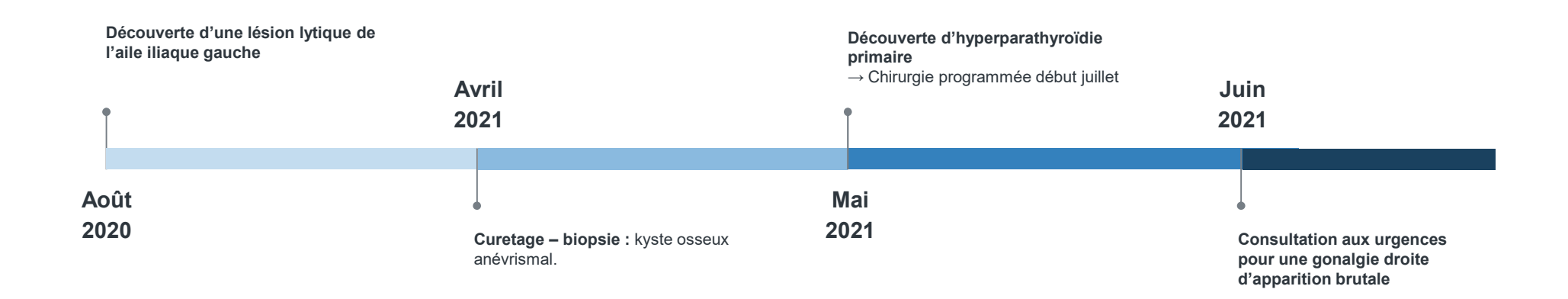
Atteinte osseuse multiple :

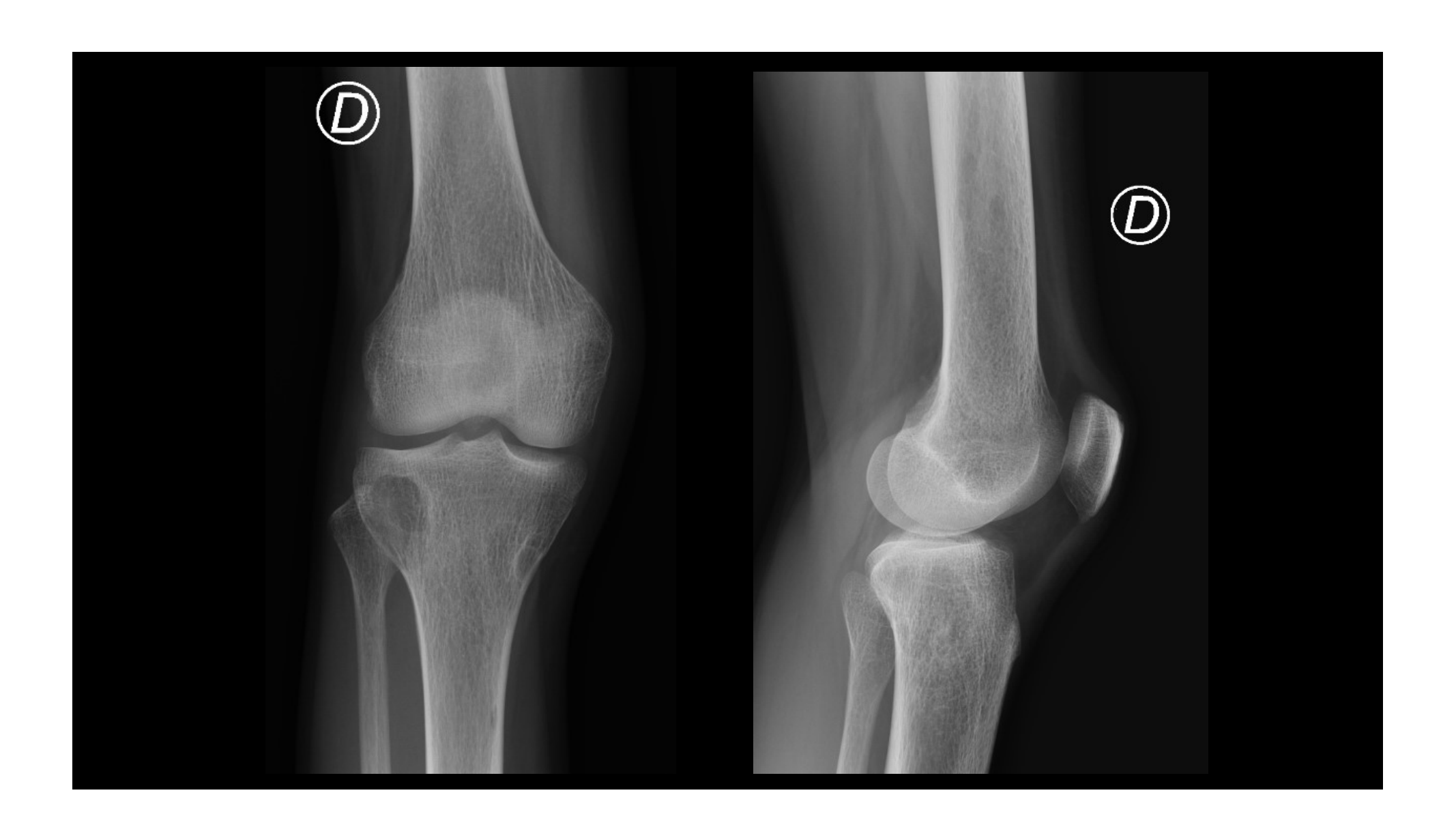
- Extrémité distale de l'épine scapulaire droite
- Petite lésion de l'extrémité distale de l'humérus gauche
- Lésion des extrémités proximales des tibias
- Ostéolyse tibiale supérieure droite
- Fixation très modérée de la lésion de l'aile iliaque gauche

TEP TDM FDG (17/06/2021): Idem



Histoire de la maladie





Prise en charge chirurgicale

Résection de la glande parathyroïde supérieure droite le 21/06/2021

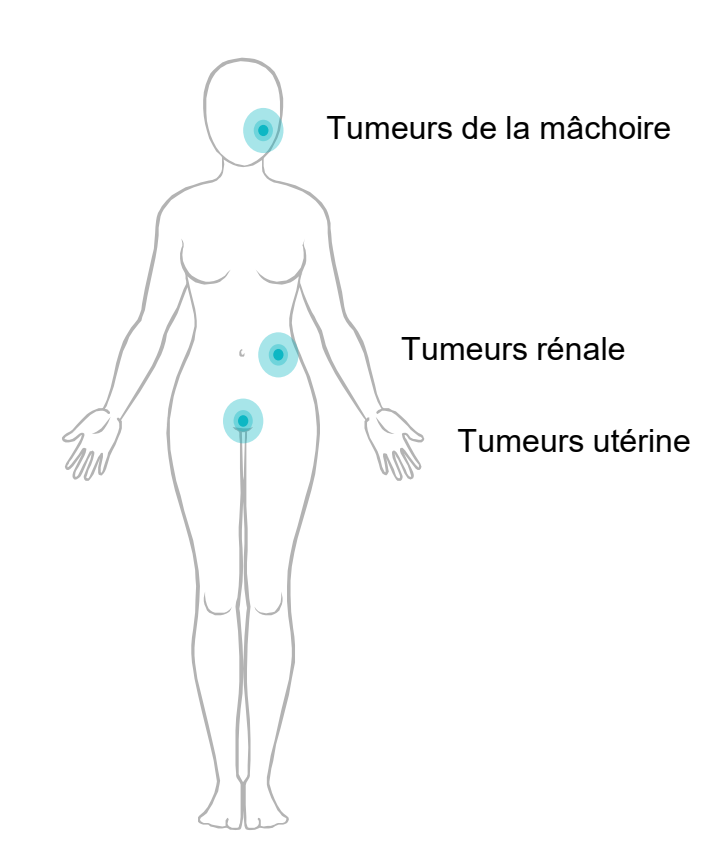
Bilan biologique de sortie :

Ca 2,18 mmol/L, P 0,53 mmol/L, PTH 29 pg/mL, vit D 35 ng/mL

Histologie : Adénome parathyroïdien sans atypie nucléaire ni mitose

Bilan génétique

Mutation du gène HRPT2 / CDC73 Mutation autosomique dominante. Possibilité de mutation de novo.

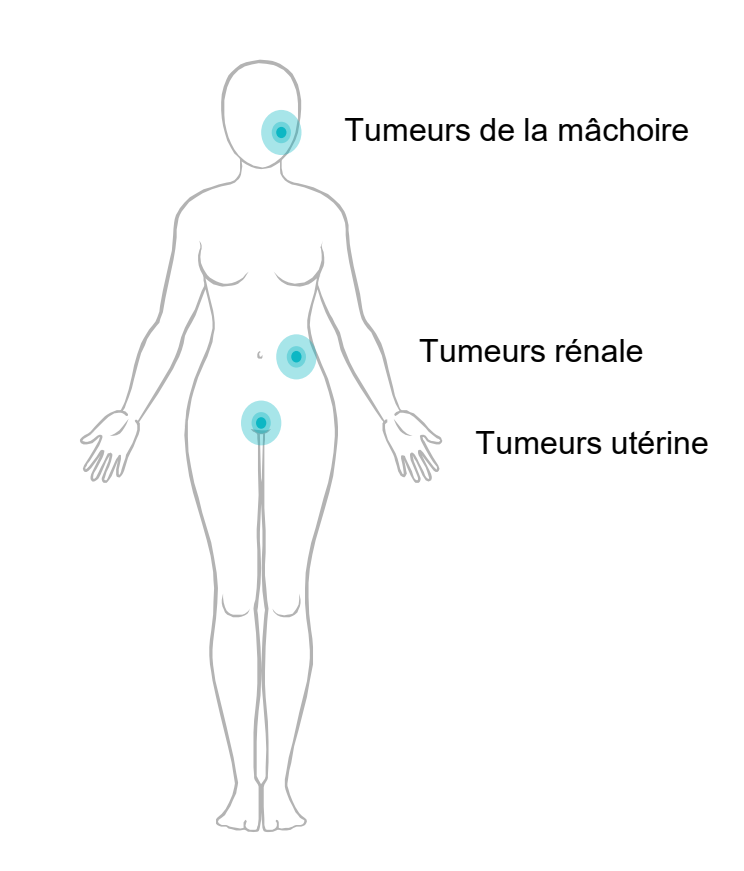


Bilan génétique

Mutation du gène HRPT2 / CDC73 Mutation autosomique dominante. Possibilité de mutation de novo.

Surveillance:

- Bilan phosphocalcique (2/an)
- Panoramique dentaire (/5ans)
- Echographie rénale et utérine (/5 ans)



Relecture radiologique et histologique

Confirmation du diagnostic de tumeur brune de l'aile iliaque gauche



Tumeurs brunes

Prolifération non tumorale localisée de tissu fibreux et d'ostéoclastes

Le plus souvent au squelette axial (côtes, os iliques)

Mais aussi : mandibules, fémurs, mains

Rx : lésion lytique, sans sclérose le plus souvent

IRM: hypoT1, hyperT2

Possible évolution kystique avec cloisonnement mimant un kyste osseux anévrysmal

Conclusion

Intérêt du dosage de la calcémie dans les lésions ostéolytiques!

Une tumeur brune peut mimer une kyste osseux anévrismal.





Merci pour votre attention